



# БИООРГАНИЧЕСКАЯ ХИМИЯ

том 13 \* №11 \* 1987

УДК 577.113.6 : 577.152.31\*.217'135

## МОДЕЛЬНЫЕ СУБСТРАТЫ ФЕРМЕНТОВ МОДИФИКАЦИИ РИБОНУКЛЕИНОВЫХ КИСЛОТ. СИНТЕЗ ДЕКА- И УНДЕКАНУКЛЕОТИДА — ФРАГМЕНТОВ 21-ЧЛЕННОГО ОЛИГОРИБОНУКЛЕОТИДА, МОДЕЛИРУЮЩЕГО ТΨС-ВЕТВЬ ДРОЖЖЕВОЙ ВАЛИНОВОЙ тРНК<sub>1</sub>

Хабарова М. И., Женодарова С. М.

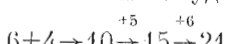
Институт биологической физики Академии наук СССР,  
Пущино Московской обл.

Синтезирован декануклеотид (Ap)<sub>6</sub>GpTpUpC и унденакануклеотид CpApUpCpCp-(Up)<sub>5</sub>U — фрагменты 21-членного олигорибонуклеотида (Ap)<sub>6</sub>GpTpUpCpGpApUpCp-Cp(Up)<sub>5</sub>U, моделирующего ТΨС-ветвь тРНК<sub>1</sub><sup>val</sup> из дрожжей и предлагаемого в качестве субстрата т'<sup>1</sup>А-метилазы и псевдоуридинсингтазы. Исходные блоки TpUpC, ApUpCpC, pGpTpUpC и CpApUpCpC были получены ферментативным синтезом с использованием рибонуклеаз различной специфичности и полипуклеотидфосфорилаз, а гексауридилат и гексааденилат — гидролизом полиуридилиевой и полиаденилиевой кислот эндопукилеазой *Serratia marcescens*. Для сшивки блоков применяли РНК-лигазу.

Ферменты, ответственные за посттранскрипционную модификацию рибонуклеиновых кислот, давно привлекают внимание исследователей, однако достаточно широкое их изучение сдерживает отсутствие субстратов, в качестве которых обычно используют немодифицированные или «маломодифицированные» пре-РНК [1]. В последние годы среди ферментов модификации рибонуклеиновых кислот были обнаружены ферменты, субстратами которых *in vitro* служат как РНК-предшественники, так и синтетические поли-, олиго- и даже мононуклеотиды [2—4].

Принимая во внимание успешное использование модельных субстратов, конструируемых из нативных и синтетических фрагментов рибонуклеиновых кислот при исследовании различных этапов механизма белкового синтеза [5—9], а также результаты более ранних работ, свидетельствующие о ферментативном переносе метильной [10] и изонентенильной [11] групп на фрагменты тРНК, мы предложили [12] для изучения действия т'<sup>1</sup>А-метилазы (КФ 2.1.1.36) и псевдоуридинсингтазы использовать олигорибонуклеотид (Ap)<sub>6</sub>GpTpUpCpGpApUpCpCp(Up)<sub>5</sub>U, моделирующий ТΨС-ветвь дрожжевой валиновой тРНК, в котором место псевдоуридила-55\* и N<sup>1</sup>-метиладенозина-58 занимают уридин и аденоzin соответственно. Наличие на концах 21-членного олигорибонуклеотида комплементарных последовательностей при определенных условиях должно обеспечить образование вторичной структуры [14], конформация которой, вероятно, будет меняться в зависимости от условий среды (температуры, pH, ионной силы и т. п.).

Ранее нами был предложен способ синтеза 21-членного олигонуклеотида [12], который предусматривал сборку 21-членника из блоков путем постепенного удлинения олигонуклеотидной цепи от 5'- к 3'-концу:



Сокращения: ПНФаза — полипуклеотидфосфорилаза; ПН-киназа — полипуклеотидкиназа; ФМЭ — фосфомоноэстераза; ФДЭ — фосфодиэстераза; СМ-РНКаза — рибонуклеаза, ковалентно связанный с СМ-целлюлозой; РНКаза A, РНКаза P<sub>b2</sub>, РНКаза B<sub>i</sub>, РНКаза C<sub>2</sub> — рибонуклеазы панкреатическая, *Penicillium brevicompactum* (неспецифичная) и гуанилспецифичные рибонуклеазы *Bacillus intermedius* 7P и *Aspergillus clavatus*.

\* Нумерация нуклеозидных остатков соответствует унифицированной [13].

Таблица 1

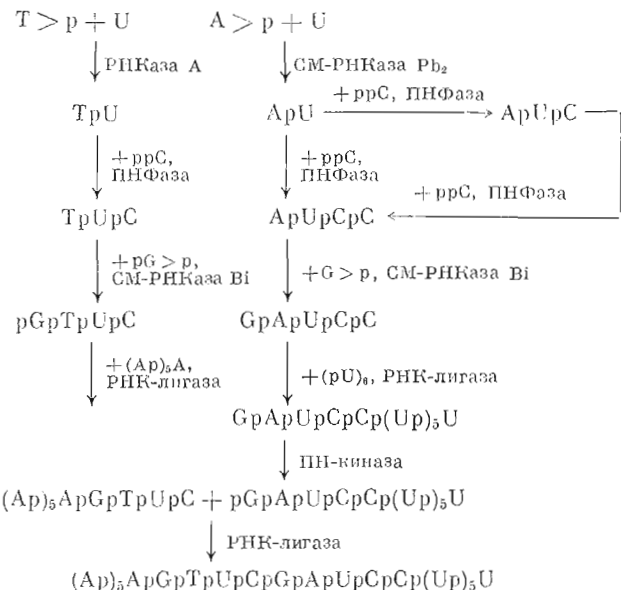
Синтез ТрU, катализируемый РНКазой А (а также СМ-РНКазой А), в зависимости от начальной концентрации субстратов и температуры

[T>p] M	[U]	[РНКаза А], мг/мл	Время, ч	Температура, °C	Выход, %	Возврат T>p, %
0,065	0,65	0,16	14	0	13(8) **	49(31)
0,065	0,65	0,04	256	-15	11	46
0,25	1,25	0,38	100	0	19(14) **	41(27)
0,25	0,75	13 *	96	0	11	41

\* Данные для СМ-РНКазы А.

\*\* В скобках указан выход, полученный в препаративном опыте после разделения реакционной смеси на колонке с DEAE-сепадексом.

В настоящей работе мы исследовали несколько иной вариант: получение дека- и ундекануклеотида и «сшивание» их в 24-членный олигонуклеотид:



Исходные олигонуклеотидные блоки синтезировали, используя рибонуклеазы различной специфичности наряду с полигионуклеотидфосфорилазами и учитывая результаты, полученные нами ранее при синтезе аналога ТΨС-петли и его фрагментов [15, 16]. Отметим, что по сравнению с сообщением [12] в настоящей работе при получении тетрануклеотида pGpTpUpC была изменена стратегия синтеза, т. е. последовательность ферментативных реакций, а при получении пентануклеотида GpApUpCpC применяли, как правило, новые, более эффективные ферментные препараты.

Препартивный синтез ApU проводили с иммобилизованной рибонуклеазой Pb<sub>2</sub>, как описано в работе [17]. Для препартивному получению ТрU предшествовали синтезы, в которых мы варьировали начальные концентрации субстратов и фермента, а также температуру. Оказалось (табл. 1), что наиболее высокий выход получается при максимальной концентрации субстратов. Проведение реакции в замороженном состоянии не дает преимущества в выходе. Выход ТрU, полученный с иммобилизованным препаратом, ниже, чем при использовании нативного фермента, однако возможность быстро и полностью удалять иммобилизованную РНКазу из реакционной смеси исключает потери ТрU при выделении за счет расщепления динуклеозидмонофосфата, имевшие место в препартивных опытах с применением нативной РНКазы (табл. 1).

Таблица 2

## Препаративное получение олигонуклеотидных блоков

Донор	Акцептор	Фермент (мг/мл)	Олигонуклеотид	Выход *, %	Регенери-ровано-акцепто-ра, %
M					
ppC, 0,005	TpU, 0,01	ПНФаза <i>M. luteus</i> (3)	TpUpC	5(15)	65–70
ppC, 0,01	ApU, 0,01	То же	ApUpC, ApUpCpC	11(31) 6(30)	65–70
ppC, 0,005	ApUpC, 0,01	ПНФаза <i>E. coli</i> (0,075)	ApUpCpC	15(60)	70
pG>p, 0,08	TpUpC, 0,02	СМ-РНКаза Bi (7,6)	pGpTpUpC	20(59)	63
pG>p, 0,04	TpUpC, 0,02	C <sub>2</sub> (6) **	pGpTpUpC	8(37)	77
G>p, 0,08	ApUpCpC, 0,02	СМ-РНКаза Bi (7,6)	GpApUpCpC	11(20)	48
pG>p, 0,08	ApUpCpC, 0,02	То же	pGpApUpCpC	18(41)	43

\* В скобках указан выход на израсходованный акцептор.

\*\* Концентрация РНКазы C<sub>2</sub> приведена в ед. акт./мл.

Таблица 3

## Характеристики синтезированных олигорибонуклеотидов

Олигонуклеотид	R * (система)	E <sub>Gp</sub>	Ферментативный гидролиз		
			фермент	продукты	отношение
TpU	1,3(A)	0,74	РНКаза A	Tp, U	1,03:1,00
ApU	1,4(A)	0,76	ФДЭ	A, pU	1,00:1,07
TpUpC	1,6(A)	0,79	»	T, pU, pC	1,00:0,98:0,96
	0,6(Б)				
ApUpC	0,4(Б)	0,80	РНКаза A	ApUp, C	1,0:1,1
ApUpCpC	0,8(A)	0,90	»	ApUp, Cp, C	1,0:1,1:1,1
	0,2(Б)				
GpApUpCpC	0,3(A)	—	—	—	—
pGpTpUpC	0,4(А)	1,03	РНКаза T <sub>1</sub>	pGp, ApUpCpC ↓ РНКаза A	1,0:1,1
pGpApUpCpC	0,1(A)	1,0		ApUp, Cp, C	1,0:0,9:1,3

\* Хроматографические подвижности (R) определены относительно Gp (система А) или TpU и ApU соответственно (система Б); для TpU и ApU подвижности даны относительно Тр и Ап.

Таблица 4

Синтез олигорибонуклеотидов с помощью РНК-лигазы фага T4  
Начальная концентрация донора фосфата ~1 мМ

Синтезируемый олигонуклеотид	Донор	Акцептор	[Донор] [Акцептор]	РНК-лиг-аза, ед. акт./мл	Вы- ход %	Возраст *, %	
			донор			донор	акцептор
(Ap) <sub>6</sub> GpTpUpC	pGpTpUpC	(Ap) <sub>5</sub> A	1:2	1500	38(20)	40(30)	55(48)
GpApUpCpCp(Up) <sub>5</sub> U	(pU) <sub>6</sub>	GpApUpCpC	1:2	1000	30(22)	10(6)	49(32)
GpApUpCpCp(Up) <sub>5</sub> U	(pU) <sub>6</sub>	GpApUpCpC	1:1	500	26	41(24)	47(34)

\* В скобках приведен выход после хроматографии на бумаге в системе В.

Дальнейшее наращивание олигонуклеотидной цепи с 3'-конца проводили с помощью полициклоидофосфорилаз *Micrococcus luteus* или *E. coli*, а с 5'-конца — с помощью гуанилспецифичной рибонуклеазы *Bacillus intermedius* 7Р, ковалентно связанный с СМ-целлюлозой (табл. 2).

Так, тринуклеозиддифосфат ТрUpC получали, присоединяя остаток цитидиловой кислоты к ТрU с помощью ПНФазы *M. luteus* в условиях, найденных ранее для синтеза UpUpC [18], когда начальная концентрация 5'-CDP, являющегося донором фосфата в этой реакции, вдвое мень-

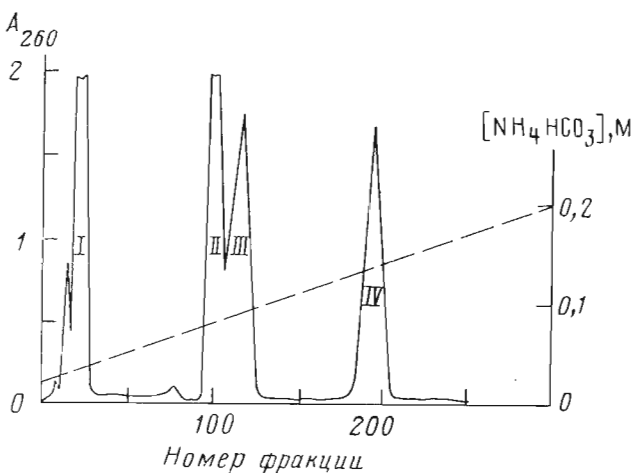


Рис. 1. Разделение реакционной смеси, полученной при синтезе ТрU, на DEAE-сепадексе А-25: I – U, II – T>p, III – ТрU, IV – Тр

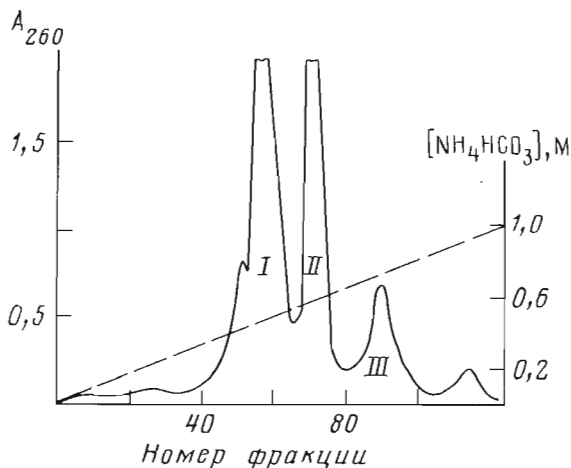


Рис. 2. Разделение реакционной смеси, полученной при синтезе GpApUpCpC, на DEAE-сепадексе А-25: I – Gp+G>p, II – ApUpCpC, III – GpApUpCpC

ше начальной концентрации акцептора фосфата ТрU. Выход ТрUpC составил  $\sim 15\%$  израсходованного ТрU, что практически совпадает с результатами, полученными для UpUpC [18] и GpTrUpC из GpTrU [16]. 65–70% ТрU возвращается из реакции.

Удлинение другого динуклеозидмонофосфата (ApU) с помощью полинуклеотидфосфорилазы *M. luteus* проводили при эквимолярном отношении субстратов, уменьшив вдвое начальную концентрацию фермента и увеличив время инкубации. Эти меры должны были обеспечить более высокое содержание в реакционной смеси продукта присоединения к ApU двух остатков 5'-цитидиловой кислоты. Действительно, выход ApUpCpC увеличился по сравнению с описанным ранее [16] до 30% (вместо 15%). Еще  $\sim 30\%$  израсходованного ApU превращается в ApUpC, а 65–70% ApU может быть регенерировано. В соответствии с ранее полученными результатами [16] ApUpC превращали в ApUpCpC инкубированием с ppC в присутствии полинуклеотидфосфорилазы *E. coli* при обычном для однократного присоединения отношении [акцептор]/[донор]=2. При этом 15% ApUpC превращается в ApUpCpC, а 70% возвращается из реакции в неизмененном виде.

Тетрануклеотид pGpTrUpC и пентануклеозидтетрафосфат GpApUpCpC получали, наращивая ТрUpC и ApUpCpC соответственно с 5'-конца. Начальные концентрации субстратов и другие условия были выбраны нами

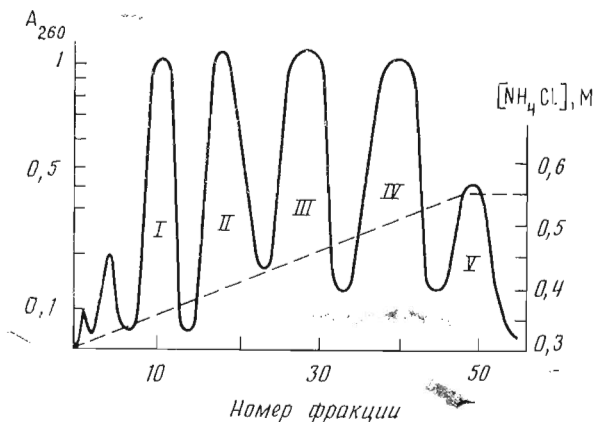


Рис. 3. Разделение гидролизата poly(A) на колонке ( $0,9 \times 60$  см) с дауэксом  $1 \times 2$  ( $\text{Cl}^-$ -форма) в градиенте ( $0,3$ – $0,55$  М)  $\text{NH}_4\text{Cl}$ , рН 8,0, с 40% этанолом (скорость элюции 30 мл/ч, объем фракций 10 мл): I –  $(\text{pA})_2$ , II –  $(\text{pA})_3$ , III –  $(\text{pA})_4$ , IV –  $(\text{pA})_5$ , V –  $(\text{pA})_6$

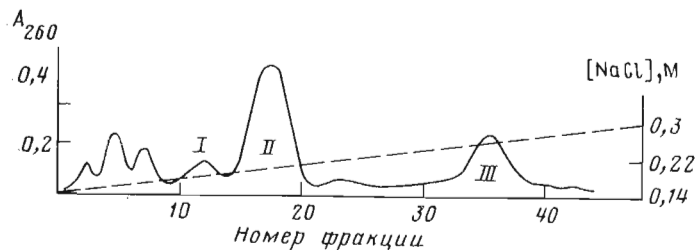


Рис. 4. Разделение реакционной смеси, полученной при синтезе  $(\text{Ap})_6\text{GpTpUpC}$ , на колонке ( $0,9 \times 30$  см) с DEAE-сепадексом А-25 в системе Томлинсона – Тенера (скорость элюции 18 мл/ч, объем фракций 9 мл): I –  $\text{pGpTpUpC}$ , II –  $(\text{Ap})_5\text{A}$ , III –  $(\text{Ap})_6\text{GpTpUpC}$

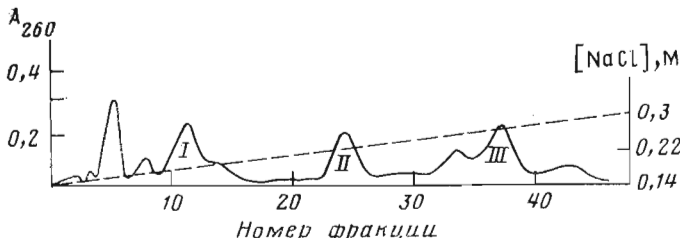


Рис. 5. Разделение реакционной смеси, полученной при синтезе  $\text{GpApUpCpCp(Up)}_6\text{U}$ , на колонке ( $0,9 \times 30$  см) с DEAE-сепадексом А-25 в системе Томлинсона – Тенера (скорость элюции 18 мл/ч, объем фракций 9 мл): I –  $\text{GpApUpCpC}$ , II –  $(\text{pU})_6$ , III –  $\text{GpApUpCpCp(Up)}_5\text{U}$

с учетом данных работ [16, 19]. СМ-РНКаза В<sub>1</sub> оказалась более эффективной в синтезе  $\text{pGpTpUpC}$  по сравнению с нативной РНКазой С<sub>2</sub> (табл. 2). GpApUpCpC также получали с помощью СМ-РНКазы В<sub>1</sub>, обеспечивающей более высокий выход, чем нативные РНКазы С<sub>2</sub> и Т<sub>1</sub> [16]. Для более эффективного использования олигонуклеотидного акцептора фосфата синтезы проводили при 4-кратном избытке донора фосфата. В этом случае  $\text{pG} > \text{p}$  как донор фосфата имеет значительное преимущество перед  $\text{G} > \text{p}$ , так как наличие заместителя в 5'-положении препятствует образованию олигогуанилатов, приводит к более высокому выходу целевого олигонуклеотида и упрощает его выделение из реакционной смеси. Действительно, выход  $\text{pGpApUpCpC}$  оказался почти вдвое выше выхода GpApUpCpC в одинаковых условиях (табл. 2).

Синтезированные олигонуклеотидные блоки выделяли из реакционных смесей хроматографией на колонках с DEAE-сепадексом в градиенте концентрации бикарбоната аммония ( $\text{ApU}$ ,  $\text{TpU}$ ,  $\text{GpApUpCpC}$ ; рис. 1, 2) или хроматографией на бумаге в системе А при дополнительной очистке электрофорезом на бумаге и рехроматографией в системе Б ( $\text{TpUpC}$ ,  $\text{ApUpC}$ ,  $\text{ApUpCpC}$ ,  $\text{pGpTpUpC}$ ). Гомогенность синтезированных олигонуклеотидов контролировалась микрохроматографией на DEAE-целлюлозе, а нуклеотидный состав — как описано в работе [16]. Характеристики этих соединений приведены в табл. 3.

Гексааденилат и гексауридилат получали гидролизом соответствующих полинуклеотидов эндонуклеазой *Serratia marcescens*, как описано в работе [19], применяя для выделения хроматографию на дауэкс 1 (рис. 3).

Декануклеотид ( $\text{Ap}_5\text{ApGpTpUpC}$ ) и унденануклеотид  $\text{GpApUpCpCp}(Up)_5\text{U}$  получали, сшивая соответствующие блоки (см. схему) РНК-лигазой (табл. 4, рис. 4, 5). Условия проведения лigation соответствовали применявшимся нами ранее [19].

В литературе описан единственный случай образования межнуклеотидной связи типа ... $\text{ApG...}$  с помощью T4-РНК-лигазы — между триаденилатом и  $\text{pGp}$  (выход 30%) [20]. Результат, полученный нами в синтезе декануклеотида (табл. 4), по-видимому, соответствует тому, что «позволяет» субстратная специфичность РНК-лигазы, в том числе и «требования» к размерам субстратов. Реакционная смесь не содержала, по крайней мере в заметных количествах, продуктов самоконденсации донора, 30% которого (как и 48% акцептора) было регенерировано.

Использование гексауридиата как донора фосфата при образовании межнуклеотидной связи типа ... $\text{CpU...}$  описано в работе [21]. Акцепторами фосфата служили олигонуклеотиды  $\text{ApApC}$  и  $\text{ApApApC}$ . Выходы в реакции лigation, определенные по включению в продукт реакции радиоактивного фосфора, составили 48 и 46% соответственно. Самоконденсация гексауридиата при определенных условиях может протекать на 100% [22], однако проведение нами спивки ( $\text{pU}_6$ ) и  $\text{GpApUpCpC}$  в условиях, отличных от предложенных в работе [22], а также присутствие в реакционной смеси акцептора фосфата  $\text{GpApUpCpC}$  (по-видимому, более активного, чем сам гексауридиат) позволили синтезировать унденануклеотид с выходом 30%; 40% акцептора и 10% донора было регенерировано..

## Экспериментальная часть

В работе использовали уридин, натриевые соли 2',3'-диклофосфата аденоцина, АТР, poly(A), poly(U), а также панкреатическую рибонуклеазу (КФ 3.1.27.5; Reanal, Венгрия); риботимидин, лигневую соль CDP, дитиоэритрит, *n*-толуолсульфонат N-циклогексил-N'-[ $\beta$ -(4-метилморфолин-1-иль)]этанкарбодииимида (Serva, ФРГ); DEAE-целлюлозу Cellex D (Bio Rad, США); сепадексы G-10, G-15, DEAE-сепадекс А-25 (Pharmacia, Швеция); дигликогексилгуанидиневую соль гуанозина-2', 3'-циклофосфата, полинуклеотидфосфорилазу *M. luteus* (КФ 2.7.7.8) и рибонуклеазу T<sub>1</sub> (КФ 3.1.27.3) (Calbiochem, США); панкреатическую рибонуклеазу, связанную с СМ-целлюлозой (Fluka, ФРГ); фосфодиастеразу змеиного яда *Crotalus adamans* (КФ 3.1.4.1; Koch-Light, Англия); эндонуклеазу *Serratia marcescens* (НИКТИ БАВ, Бердск); РНК-лигазу T4 (КФ 6.5.1.3; НПО «Фермент», Бильнюс).

Дигликогексилгуанидиневую соль G>r превращали в аммониевую обработкой дауэксом 50W×1 ( $\text{NH}_4^+$ -форма). 2'(3'), 5'-Дифосфат гуанозина получали, фосфорилируя гуанозин пирофосфорилхородом по методу [23]. Риботимидин-2'(3')-фосфат синтезировали по [24], 2',3'-циклофосфаты риботимицина и 5'-фосфорилгуанозина получали в присутствии *n*-толуолсульфоната N-циклогексил-N'-[ $\beta$ -(4-метилморфолин-1-иль)]этанкарбодииимида, как описано в работе [25].

РНКаза Pb<sub>2</sub> (КФ 3.1.27.1) выделена В. А. Ежовым с сотр. (ИБФМ АН СССР, г. Пущино). СМ-РНКаза Pb<sub>2</sub> (0,126 ед. акт./мг) и СМ-РНКаза Bi (0,064 ед. акт./мг) приготовлены в нашей лаборатории [26, 27]. За единицу активности принимали количество фермента, расщепляющее при 37°C 1 мкмоль A>r за 1 мин при pH 7,0 (СМ-РНКаза Pb<sub>2</sub>) или 1 мкмоль G>r за 1 мин при pH 7,5 (СМ-РНКаза Bi).

Полинуклеотидфосфорилаза *E. coli* (КФ 2.7.7.8; 19 ед. акт./мг·ч) и ФМЭ *E. coli* (КФ 3.1.3.1; 1 мг расщепляет 92,5 мкмоль *n*-нитрофенилфосфата за 10 мин при 37°C) любезно предоставлены Р. Ф. Ренхоф (ИОС АН ЛатвССР).

Хроматографию и электрофорез проводили на бумагах FN-1, FN-2, FN-3, FN-15 (Filtrak, ГДР). Для исходящей хроматографии использовали следующие системы

растворителей: этапол — пропанол-2 — конц. аммиак — вода, 60 : 5 : 10 : 25 (А); этапол — 1 М ацетат аммония, 7 : 3 (Б); пропанол-1 — конц. аммиак — вода, 5 : 1 : 4 (В). Вертикальный электрофорез проводили в течение 2 ч при градиенте потенциала 20 В/см в 0,05 М бикарбонате триэтиламмония, рН 7,5.

**Синтез TpU.** Раствор риботимидин-2',3'-циклофосфата и уридин в 0,05 М фосфатном буфере, рН 7,0, инкубировали с РНКазой А. Начальные концентрации субстратов и фермента, а также продолжительность инкубации и температура приведены в табл. 1. Объем реакционной смеси составлял 0,1—1 мл. В аналитических опытах TpU выделяли, комбинируя электрофорез и хроматографию на бумаге в системе А. В preparативных опытах реакционную смесь после отделения фермента (иммобилизованный препарат) фильтрованием или инактивации его добавлением 7 М NH<sub>4</sub>OH (10% от объема реакционной смеси) наносили на колонку с DEAE-сепадексом А-25 (1,6×70 см, HCO<sub>3</sub><sup>-</sup>). Элюцию проводили в линейном градиенте концентрации бикарбоната аммония (0,02—0,2 М, по 1,5 л) со скоростью 108 мл/ч, собирая фракции по 9 мл (рис. 1). Фракции 108—125, содержащие TpU, обессоливали многократным упариванием с 50% этаполом при 50°С.

**Синтез олигорибонуклеотидов с помощью полинуклеотидфосфорилазы.** Динуклеозидмонофосфат или тринуклеозиддифосфат и ppC инкубировали с ферментом при 37°С в 0,05 М трис-HCl-буфере, рН 9,0, содержащем 0,05 мМ EDTA и 0,01 М MgCl<sub>2</sub> (2 ч, ПНФаза *M. luteus*) или в 0,1 М трис-HCl-буфере, рН 8,0, содержащем 0,05 мМ EDTA и 0,01 М MgCl<sub>2</sub> (1 ч, ПНФаза *E. coli*). Начальные концентрации субстратов и фермента приведены в табл. 2. Объем реакционной смеси составлял 0,5—4 мл. Реакционную смесь делили на препаративной хроматографии на бумаге в системе А. Олигонуклеотиды дополнительно освобождали от примесей электрофорезом на бумаге и повторной хроматографией в системе Б.

**Синтез олигорибонуклеотидов с помощью CM-РНКазы B1.** Раствор pG>r или G>r и акцептора фосфата (начальные концентрации 0,08 и 0,02 М соответственно) в 0,1 М трис-HCl-буфере, рН 7,5, инкубировали при 0°С с ферментом (7,6 мг/мл) в течение 24 или 40 ч соответственно. Объем реакционной смеси составлял 0,1—0,2 мл. pGpTpUpC и pGpApUpCrC выделяли хроматографией на бумаге в системе А с последующей очисткой электрофорезом на бумаге. При получении GpApUpCrC реакционную смесь после отделения фермента наносили на колонку (1,5×17 см) с DEAE-сепадексом А-25, уравновешенным 0,01 М бикарбонатом аммония. Элюцию проводили в линейном градиенте концентрации бикарбоната аммония (0,01—1 М, по 500 мл) со скоростью 40 мл/ч, собирая фракции по 8 мл (рис. 2). Фракции 85—99, содержащие GpApUpCrC, обессоливали, обрабатывая их дауэксом 50W×10 (H<sup>+</sup>-форма). После отделения смолы и упаривания фильтрат остаток хроматографировали в системе В.

**Синтезы с участием РНК-лигазы T4 и разделение реакционных смесей** проводили в условиях, описанных в работе [19]. Результаты синтезов представлены в табл. 4 и на рис. 4 и 5.

**Определение нуклеотидного состава ундекануклеотида и декануклеотида.** а) 1 OE<sub>260</sub> GpApUpCrCp(Up)<sub>5</sub>U растворяли в 0,05 мл 0,05 М трис-HCl-буфера, рН 7,5, и инкубировали с панкреатической рибонуклеазой (0,2 мг/мл) при 37°С. Через 24 ч отобрали пробы по 0,01 мл и анализировали их хроматографией на микроКолонке (0,8×60 мм) с DEAE-целлюлозой (скорость элюции 600 мкл/ч, детекция с помощью микроспектрофотометра МСФП-1 при 260 нм) в градиенте концентрации (0—0,26 М) NaCl в 0,01 М трис-HCl-буфере, рН 7,5, с 7 М мочевиной и на микроКолонке (0,8×60 мм) с дауэксом I (скорость элюции 300 мкл/ч) в градиенте концентрации (0—0,5 М) NH<sub>4</sub>Cl, рН 10,0, с 20% этаполом. При анализе РНКазного гидролизата на микроКолонках с DEAE-целлюлозой и дауэксом I получили в первом случае [GpApUp] : [2Cr+5Up] : [U] = 0,9 : 1,15 : 1,0; во втором — [2Cr] : [5Up] : [U] = 1,9 : 5,3 : 1,0. По завершении гидролиза в реакционную смесь добавили 3 мкл 0,1 М MgCl<sub>2</sub>, 10 мкл раствора ФМЭ *E. coli* (1 мг/мл) и инкубировали 4 ч при 37°С, затем отобрали пробу (0,02 мл) и анализировали хроматографией на микроКолонке с DEAE-целлюлозой в градиенте концентрации (0—0,2 М) NaCl в 0,01 М трис-HCl-буфере, рН 7,5, с 7 М мочевиной. МикроКолоночная хроматография обработанного фосфатазой гидролизата на DEAE-целлюлозе показала, что отношение [GpApU] : [2Cr+6U] = 1 : 1,13.

б) 1 OE<sub>260</sub> (Ap)<sub>6</sub>GpTpUpC растворяли в 0,03 мл 0,05 М трис-HCl-буфера, рН 8,0, содержащего рибонуклеазу T<sub>1</sub> (200 ед. акт./мл), и инкубировали при 37°С. Через 1 ч отобрали пробу (7,5 мкл), разбавили ее водой до 30 мкл и анализировали микроКолоночной хроматографией на DEAE-целлюлозе в градиенте концентрации (0—0,26 М) NaCl в 0,01 М трис-HCl-буфере, рН 7,5, содержащем 7 М мочевину. Через 2,5 ч в реакционную смесь добавили 1,2 мкл 0,1 М MgCl<sub>2</sub>, 10 мкл раствора ФМЭ *E. coli* и инкубировали 3 ч при 37°С. Пробу (20 мкл) анализировали хроматографией на микроКолонке с DEAE-целлюлозой в градиенте концентрации (0—0,26 М) NaCl в 0,01 М трис-HCl-буфере, рН 7,5, с 7 М мочевиной, получили отношение [(Ap)<sub>6</sub>G] : [TpUpC] = 1 : 0,98. Пик, содержащий (Ap)<sub>6</sub>G, после обессоливания на сепадексе G-15 и упаривания обработали 0,02 мл раствора рибонуклеазы Pb<sub>2</sub> (4 ед. акт./мл, рН 7,0) при 37°С в течение 5 ч. Гидролизат анализировали на микроКолонке с дауэксом I как описано выше, обнаружили Ap и G.

## ЛИТЕРАТУРА

1. Kline L. K., Söll D. // The Enzymes. V. XVII. N. Y.: Acad. Press, 1982. P. 557—566.
2. Mizumoto K., Lipmann F. // Proc. Nat. Acad. Sci. USA. 1979. V. 76. № 10. P. 4961—4965.
3. Smith R. E., Furuichi Y. // J. Biol. Chem. 1982. V. 257. № 1. P. 485—494.

4. Wang D., Shatkin A. J. // Nucl. Acids Res. 1984. V. 12, № 5. P. 2303–2315.
5. Meyhack B., Pace B., Uhlenbeck O. C., Pace N. R. // Proc. Nat. Acad. Sci. USA. 1978. V. 75, № 7. P. 3045–3049.
6. Heckler T. G., Chang L. H., Zama Y., Naka T., Hecht S. M. // Tetrahedron. 1984. V. 40, № 1. P. 87–94.
7. Doi T., Morioka H., Matsugi J., Ohtsuka E., Ikehara M. // FEBS Lett. 1985. V. 190, № 1. P. 125–128.
8. Ohyama T., Nishikawa K., Takemura S. // J. Biochem. 1986. V. 97, № 1. P. 29–36.
9. Rose III S. J., Lowary P. I., Uhlenbeck O. C. // J. Mol. Biol. 1983. V. 167, № 1. P. 103–117.
10. Kuchino Y., Seno T., Nishimura S. // Biochem. and Biophys. Res. Communs. 1971. V. 43, № 3. P. 476–483.
11. Vickers J. D., Logan D. M. // Biophys. Soc. Abstr. 1970. V. 10. P. 166a. цит. по: Shershneva L. P., Venkstern T. V., Bayev A. A. Biochim. et biophys. acta. 1973. V. 294, № 2. P. 250–262.
12. Хабарова М. И., Женодарова С. М. // Тез. V Всесоюз. биохим. съезда. Т. 2. М.: Наука, 1986. С. 422.
13. Gauss D. H., Sprinzl M. // Nucl. Acids Res. 1983. V. 11, № 1. P. r1–r53.
14. Haasnoot C. A. G., Hilbers C. W., van der Marel G. A., van Boom J. H., Singh U. C., Pattabiraman N., Kollman P. A. // J. Biomol. Struct. Dynam. 1986. V. 3, № 5. P. 843–858.
15. Zhenodarova S. M., Klyagina V. P., Smolyaninova O. A., Khabarova M. I., Antonovich E. G., Prokof'ev M. A. // Nucl. Acids Res. 1977. V. 4, № 6. P. 2099–2107.
16. Женодарова С. М., Клягина В. П., Седельникова Э. А., Смолянинова О. А., Антонович Е. Г., Манькин А. С., Прокофьев М. А., Загребельный С. Н., Майстренко Б. Ф., Пустошилова Н. М., Болезнин М. Н., Смолянинов В. В. // Биоорган. химия. 1980. Т. 6, № 7. С. 1037–1046.
17. Женодарова С. М., Смолянинова О. А., Соболева И. А., Хабарова М. И. // Биоорган. химия. 1987. Т. 13, № 8. С. 1023–1030.
18. Женодарова С. М., Клягина В. П., Седельникова Э. А., Смолянинова О. А. // Биоорган. химия. 1980. Т. 6, № 10. С. 1505–1515.
19. Женодарова С. М., Клягина В. П., Седельникова Э. А., Смолянинова О. А., Хабарова М. И., Майстренко Б. Ф., Пустошилова Н. М. // Биоорган. химия. 1981. Т. 7, № 4. С. 524–533.
20. Kikuchi Y., Hisinuma F., Sakaguchi K. // Proc. Nat. Acad. Sci. USA. 1978. V. 75, № 3. P. 1270–1273.
21. Walker G. C., Uhlenbeck O. C., Bedows E., Gumpert R. I. // Proc. Nat. Acad. Sci. USA. 1975. V. 72, № 4. P. 122–126.
22. Ямковой В. И. // Биоорган. химия. 1980. Т. 6, № 12. С. 1808–1812.
23. Barrio J. R., Barrio M. C. G., Leonard N. J., England T. E., Uhlenbeck O. C. // Biochemistry. 1978. V. 17, № 11. P. 2077–2081.
24. Holy A., Bald R. // Collect. Czech. Chem. Communs. 1971. V. 36, № 8. P. 2809–2823.
25. Кавуненко А. П., Сухаревич В. П., Тихомирова-Сидорова Н. С. // Журн. общ. химии. 1971. Т. 41, № 3. С. 679–687.
26. Женодарова С. М., Соболева И. А., Хабарова М. И., Ежов В. А., Приходько А. Г. // Биоорган. химия. 1980. Т. 6, № 5. С. 736–742.
27. Шарипова Ф. Р., Балабан Н. П., Рязанов С. М., Лещинская И. Б., Хабарова М. И., Женодарова С. М. // Биоорган. химия. 1983. Т. 9, № 4. С. 505–510.

Поступила в редакцию

8.XII.1986

После доработки

6.III.1987

## MODEL SUBSTRATES OF ENZYMES MODIFYING RIBONUCLEIC ACIDS.

### SYNTHESIS OF DECA- AND UNDECANUCLEOTIDE FRAGMENTS

### OF A 21-MER SIMULATING TΨC-ARM OF THE YEAST tRNA<sub>1</sub><sup>Val</sup>

ХАБАРОВА М. И., ЖЕНОДАРОВА С. М.

Institute of Biological Physics, Academy of Sciences  
of the USSR, Pushchino, Moscow Region

Decanucleotide (Ap)<sub>6</sub>GpTpUpC and undecanucleotide GpApUpCpCp(Up)<sub>5</sub>U have been synthesised. They constitute 5'-and 3'-parts of a 21-mer which imitates TΨC-arm of yeast tRNA<sub>1</sub><sup>Val</sup> and is a potential substrate for m<sup>1</sup>A-methylases and pseudouridine synthetase. The oligonucleotide blocks, synthesised enzymatically by means of ribonucleases of various substrate specificity and polynucleotide phosphorylases (TpUpC, ApUpCpC, pGpTpUpC, GpApUpCpC) or obtained by hydrolysis of poly(U) and poly(A) with *Serratia marcescens* endonuclease (hexauridilate and hexadenilate), were joined by T4 RNA ligase.